

- target antitumor drugs toward opioid receptor rich mouse tumor cells with enkephalin ellipticinium conjugates. *Cancer Res*, 1989, **49**: 1836~ 1842
- 7 Rigaudy P, Garbay J C, Jacquemin S A et al. Synthesis and binding properties to DNA and to opioid receptors of enkephalin ellipticium conjugates. *Int J Peptid Protein Res*, 1987, **30**: 347~ 355
- 8 Flannery G R, Pelham J M, Dixon G J et al. Immunomodulation: NK cells activated by interferon-conjugated monoclonal antibody against human osteosarcoma. *Eur Cancer Clin Oncol*, 1984, **20**: 791~ 794
- 9 Blalock J E, Eric M S. Human leukocyte interferon (HuINF- α): potent endorphin-like opioid activity. *Biochem Biophys Res Commun*, 1981, **101**: 472~ 478

Stronger Analgesia and Antitumor Activities of Enkephalin- α I Interferon Fusion Protein.

ZHU Qianzheng¹⁾, WANG Jing²⁾, ZHANG Xiaobing, LI Mengfeng, ZHANG Ruli³⁾, CHEN Wanqiu, HOU Yunde (*National Laboratory of Molecular Virology and Genetic Engineering, Institute of Virology, Beijing 100052, China; ¹⁾Institute of Microbiology and Epidemiology, Beijing 100850, China; ²⁾Department of Microbiology, Tong Qi Medical University, Wuhan 430030, China; ³⁾Neuro-*

science Ceutre, Beijing Medical University, Beijing 100083, China).

Abstract Human colorectal, pulmonary carcinoma as well as neuroblastoma have been shown to be rich in opiate receptors. A possible targeted fusion protein, consisting of Enkephalin and α I interferon, was constructed, bacterially expressed, and purified. When injected intracerebrally into mice, enkephalin- α I interferon fusion protein caused more potent analgesia than α I interferon. The analgesia effects of the fusion protein were prevented and reversible by opiate antagonist, naloxone and naltrexole. The fusion protein also inhibits bindings of [³H] DPDPE to opiate receptor. The enkephalin- α I interferon fusion protein was shown to have more antiproliferative and antitumor activities against opiate receptor bearing tumors, both *in vivo* and *in vitro*. These results suggest enkephalin- α I interferon fusion protein may be able to target opiate receptors on tumor cells.

Key Words interferon, fusion protein, analgesia, antitumor activity

GI 双突变体 GIK253RA198C 的 构建及其性质分析*

伍传金 王琛 滕脉坤 王淳 肖亚中 王玉珍 牛立文 崔涛

(中国科学技术大学生物系, 合肥 230026)

摘要 以双引物法对葡萄糖异构酶 (GI) 基因进行定点突变, 将突变体基因于大肠杆菌中表达, 获得了 GI 双点突变体 GIK253RA198C。研究 K253R 和 A198C 双点突变对 GI 的结构和性质的作用, 结果表明 GIK253RA198C 的热稳定性明显下降, 最适反应温度降低 5℃。文章从结构和机制上解释了为何同是 K253R 突变, 对 SM33 GI 和密苏里游动放线菌 GI 的热稳定性产生不同的影响, 认为这是由于 Lys253 在两种 GI 结构的位置上存在微小差异, 从而使引入的 Arg 对亚基间的相互作用产生了相反效应所引起。

关键词 D-葡萄糖异构酶, 定点突变, 基因表达, 热稳定性

葡萄糖异构酶 (GI) 是一种重要的工业酶, 同时也是探讨酶催化机制和建立蛋白质工

* 国家“863”计划资助项目 (863-103-21-08)。

收稿日期: 1996-10-10, 修回日期: 1997-02-03

程技术的良好模型。本课题组开展了 7 号淀粉酶链霉菌 M1033 菌株 GI (以下简称 SM33 GI) 的蛋白质工程研究, 建立了完整的 GI 蛋白质工程研究系统^[1]。我们曾报道, 单点突变体 GIK253R (将 253 位的 Lys 替换成 Arg)^[2] 和 GIA198C (将 198 位的 Ala 替换成 Cys)^[1] 的部分性质都有所改善, GIK253R 的比活为野生型 GI 的 1.5 倍, 在底物存在的情况下, 它的热失活半衰期略有增加; GIA198C 的最适反应温度比野生型 GI 提高了 8℃。但是, 参照密苏里游动放线菌 GI (AM GI) 成功例子设计的 K253R 突变, 却引起 SM33 GI 热稳定性的下降; GIA198C 中新引入的 Cys198 在亚基间也未自然形成二硫键。

近年来, 定点突变已成为研究蛋白质结构和功能关系的有力工具。Lys253 和 Ala198 都位于 GI 亚基间的界面处, 它们的突变都可能影响亚基间的相互作用, 本文则研究这两个位点同时突变之间的相互影响及其对 GI 产生的效应。

1 材料和方法

1.1 材料

E. coli XL1-blue, CJ236, K38/pGP1-2 均为本室保存; pTKD-GI、带有突变体 GIA198C 基因片断的 M13 mp19 重组子分别由本室崔虹等^[3]、肖亚中等^[1]构建; 引物 5'-TCCGGCATCAGGTACGACCA-3' (用于引入 Arg253) 由中科院细胞所合成; 限制性内切酶 EcoRI、Hind III、Sph I、T4 DNA 连接酶、T7 DNA 多聚酶为华美公司产品; T4 多核苷酸激酶、DEAE-Sepharose FF、Sephacryl S-300 HR、T7 DNA Sequencing Kit 均为 Pharmacia 公司出品。

1.2 实验方法

1.2.1 定点诱变: 采用双引物法, 于带有突变体 GIA198C 基因片段的 M13mp19 重组子的掺 U 单链上进行, 具体过程参见文献 [2]。

1.2.2 DNA 序列测定: 按 Sanger 双脱氧链终止法, 用 T7 DNA Sequencing Kit 进行。

1.2.3 突变体基因的表达及酶的分离纯化, SDS-PAGE 和亚基间二硫键的测定, 均按文献 [1] 的方法进行。

1.2.4 蛋白质含量的测定: 采用 Lowry 法, 以牛血清白蛋白作为标准。

1.2.5 GI 活力测定: 采用改进的 Cys-咪唑法^[4], 以 D-木糖或 D-葡萄糖为底物。

1.2.6 酶热稳定性的测定: 将酶以终浓度 0.5 g/L 加入 10 mmol/L MgCl₂, 50 mmol/L Tris-HCl (pH 7.0) 中, 于 80℃下保温, 间隙取样测活。以残余活力百分数的对数为纵坐标, 以保温时间为横坐标作图, 求出酶热失活半衰期。

1.2.7 酶最适反应温度测定: 用 D-木糖作底物, 保温反应时间为 10 min。

1.2.8 酶动力学试验: 按颜思旭等的方法^[5], 分别以 D-木糖和 D-葡萄糖为底物测其在 40℃下, 10 mmol/L MgCl₂, 50 mmol/L 三乙胺 (TEA) pH 8.0 中的木酮糖和果糖生成量, Lineweaver-Burk 作图法求出酶的表观 K_m 和 V_{max} 。

2 结果与讨论

2.1 突变体基因的表达及酶的分离纯化

经 DNA 序列测定, 筛选出 Lys253 的密码子 AAG 正确替换成 Arg253 的密码子 AGG (图 1) 的突变体重组子, 将突变体基因克隆

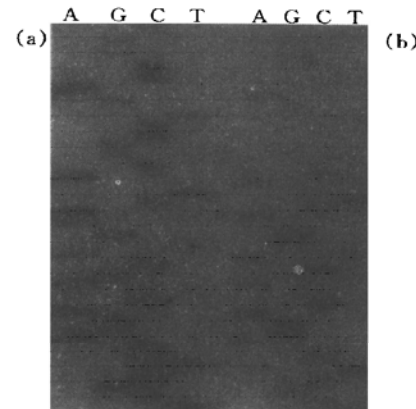


图 1 突变位点的 DNA 序列测定

(a) 野生型 GI; (b) GIK253RA198C.

回 pTKD-GI 质粒, 转化宿主菌 K38/pGPI-2 后获得高效表达(图 2)。破碎表达菌体并离心, 从得到的上清液中对酶进行分离纯化, 结果 GIK253RA198C 的分离峰形与野生型 GI 基本一致。得到了电泳纯的突变体酶蛋白 GIK253RA198C, 测定它与野生型 GI 的性质并进行比较。

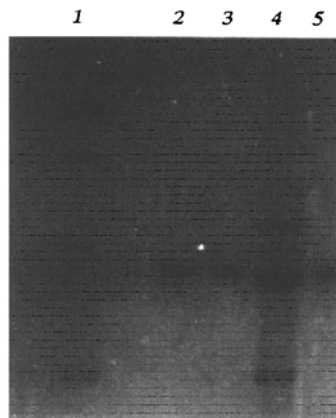


图 2 SDS PAGE 电泳图

1: 分子质量标准; 2: GIK253RA198C (加 DTT); 3: GIK253RA198C (不加 DTT); 4: 表达 GIK253RA198C 的细胞裂解上清液; 5: 野生型 GI.

2.2 酶的性质分析及比较

以 D-葡萄糖为底物, 测得电泳纯的 GIK253RA198C 和野生型 GI 的比活相近, 分别为 12.6 U/mg 和 10.5 U/mg。在 SDS-PAGE 上, GIK253RA198C 在 DTT 存在和不存在的情况下迁移率相同(图 2), 表明 Cys198 的—SH 仍处于自由状态, 同样没有在亚基间自然形成二硫键。

由图 3 求得 GIK253RA198C 在 80 °C 下的热失活半衰期约为 11 min, 明显低于野生型 GI 的 120 min。同时, GIK253RA198C 的最适反应温度亦从野生型 GI 的 75 °C 左右下降为 70 °C (图 4)。

实验条件下 GIK253RA198C 和野生型 GI 的动力学的参数见表 1, 以木糖为底物时, 野生型 GI 与 GIK253RA198C 的 V_{max} 相差不大,

而 GIK253RA198C 的 K_m 值比野生型 GI 略有增加 (18%); 以葡萄糖为底物时, GIK253RA198C 的表观 K_m 值几乎比野生型 GI 增加 1 倍。

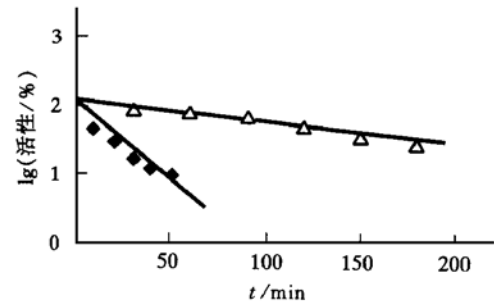


图 3 80 °C 下热失活曲线的测定

△ —— △: 野生型 GI, 半衰期为 120 min;
◆ —— ◆: GIK253RA198C, 半衰期为 11 min.

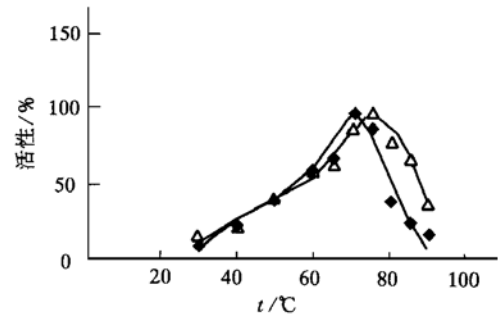


图 4 反应温度对酶活性的影响

△ —— △: 野生型 GI, 75 °C; ◆ —— ◆:
GIK253RA198C, 70 °C.

表 1 GIK253RA198C 和野生型 GI 的动力学参数的比较

酶	底物	$K_m/$	$V_{max}/$
		mmol·L ⁻¹	$\mu\text{mol} \cdot \text{min}^{-1} \cdot \text{mg}^{-1}$
野生型 GI	D-木糖	77	78
	D-葡萄糖	380	77
GIK253RA198C	D-木糖	91	71
	D-葡萄糖	714	91

加强亚基间的相互作用是提高寡聚酶热稳定性的重要手段^[6]。在 GIA198C 中, 由于 Ala198 和 Ala198' 的 α 碳原子相距略远等原因, 新引入的—SH 间未能形成二硫键^[1]。如果 Arg253 能起到象在 AM GI 中由于和邻近亚基的氨基酸残基形成了新的氢键、从而加强了亚

基间相互作用的效应^[7], 则能有助于邻近亚基 Cys198 间二硫键的自然形成。可是, GIK253RA198C 没有综合 Lys253 → Arg253 和 Ala198 → Cys198 的有益效应, Arg253 的引入没有消除原有的 GIA198C 中影响二硫键形成的空间障碍。从动力学数据等结果看, 它反而影响了由于 Cys198 的 —SH 的引入对电荷中继系统或活性中心区域产生的有益作用^[1]。同样, Cys198 的引入也更加引起 GIK253R 结构的不稳定, 使得热稳定性进一步下降, 而且最适反应温度降低。

根据 SM33 GI 的 0.19 nm 晶体结构模型, 可以看到 Lys253 位于 AM GI 中 Lys253 的类似位置, 都处于亚基的界面处, 而且它同样能与底物发生希夫碱反应^[2]。但是, SM33 GI 的 Lys253 更靠近四聚体的中心, 可能就是这种位置及邻近亚基在 Lys253 处距离间的微小差别, 导致了由于 Arg253 的侧链基团较 Lys253 的长, 使得它的引入反而加大了 SM33 GI 亚基间的距离, 削弱了亚基间的相互作用。这从结构和机制上帮助解释了, 同是 K253R 突变, 在 SM33 GI 和 AM GI 中对热稳定性却产生了不同的效果^[2]。

从以上结果也可以看出, 结构上的微小差别, 即可导致突变体性质的较大不同。橄榄产色链霉菌 GI^[8]的 253 位也是 Lys, Quax 等^[9]推测它同样是使酶热失活的不稳定因素。但是也有可能与 SM33 GI 一样, K253R 突变并不能提高橄榄产色链霉菌 GI 的热稳定性。在蛋白质工程中, 有效的分子设计需要对特定蛋白质结构和功能关系有着深刻的理解, 进行双点或多点突变时则更要精确地把握。

参 考 文 献

- 肖亚中, 伍传金, 龙凡等. 用蛋白质工程方法改变葡萄糖异构酶最适 pH 和最适温度. 生物化学与生物物理学报, 1995, 27 (5): 469~ 476
- 伍传金, 肖亚中, 龙凡等. K253R 和 N184V 点突变对葡萄糖异构酶热稳定性的影响. 生物化学与生物物理学报, 1996, 28 (3): 272~ 278
- 崔虹, 刘咸安, 李澄清等. 7 号淀粉酶链霉菌 M103 菌株葡萄糖异构酶在大肠杆菌中的高效表达. 高技术通讯, 1993, 3 (7): 9~ 12

- 4 黄婉治, 王淳, 刘兢等. 链霉菌 M1033 葡萄糖异构酶的分离纯化及其性质的研究. 中国科学技术大学学报, 1992, 22 (3): 283~ 288
- 5 颜思旭, 蔡红玉等. 酶催化动力学原理和方法. 厦门: 厦门大学出版社, 1987. 225
- 6 Ahern T J, Casal J I, Petsko G A et al. Control of oligomeric enzyme thermostability by protein engineering. Proc Natl Acad Sci USA, 1987, 84: 675~ 679
- 7 Mrabet N T, Broeck A V, Brande I V et al. Arginine residues as stabilizing elements in protein. Biochemistry, 1992, 31 (8): 2239~ 2253
- 8 Farber G K, Glasfeld A, Tiraby G et al. Crystallographic studies of the mechanism of xylose isomerase. Biochemistry, 1989, 28: 7289~ 7297
- 9 Quax W J, Mrabet N T, Luiten R G M et al. Enhancing the thermostability of glucose isomerase by protein engineering. Bio/Technology, 1991, 9: 738~ 742

Construction and Characterization of the Glucose Isomerase Mutant, GIK253RA198C. WU Chuanjin, WANG Chen, TENG Maikun, WANG Chun, XIAO Yazhong, WANG Yuzhen, NIU Liwen, CUI Tao (Department of Biology, University of Science and Technology of China, Hefei 230027, China).

Abstract The GI mutant, GIK253RA198C, was obtained by *in vitro* site-directed mutagenesis using the double primer method and then expressed in *E. coli* K38. The characteristic analysis of the enzymes showed that thermostability of GIK253RA198C was significantly lower as compared with wild-type GI in 80 °C. Moreover, its optimum reaction temperature decreased from 75 °C to 70 °C. The results are explained by the kinetic parameters. Previous experiment indicated that the same mutation of K253R produced different effects on the thermostability of SM33 GI and *A. missouriensis* GI. It is clarified here, based on structure and mechanism, that the result was due to the minor difference between Lys253's positions in the two GI structures.

Key words D-glucose isomerase, site-directed mutagenesis, gene expression, thermostability